

〈논 문〉

시일의 마멸이 다단 터빈 펌프 동특성에 미치는 영향

Effects of Seal Wear on the Rotordynamics of a Multistage Turbine Pump

김 영 철* · 이 동 환* · 이 봉 주**

Young Cheol Kim, Dong Hwan Lee and Bong Ju Lee

(1997년 7월 3일 접수 ; 1997년 10월 21일 심사완료)

Key Words : Multistage Turbine Pump(다단 터빈 펌프), Pump Seal(펌프 시일), Seal Wear(시일 마멸), Rotordynamics(회전체 동역학), Critical Speed(위험 속도), Whirl Natural Frequency(선 회고유진동수), Unbalance Response(불평형 응답), Separation Margin(분리여유)

ABSTRACT

Rotordynamic analysis of a multistage turbine pump using finite element method is performed to investigate the effects of seal wear on its system behavior. Stiffness and damping coefficients of the 2-axial grooved bearing are obtained as functions of rotating speed. Stiffness and damping coefficients of plane annular seals are calculated as functions of rotating speed as well as seal clearance. As the clearance of seals become larger, these stiffness and damping coefficients decrease drastically so that there can be significant changes in whirl natural frequencies and damping characteristics of the pump rotor system. Although a pump is designed to operate with a sufficient separation margin from the 1st critical speed, seal wear due to long operation may cause a sudden increase in vibration amplitude by resonance shift and reduce seal damping capability.

1. 서 론

최근의 다단터빈펌프는 고성능화의 요구로 회전체의 회전속도가 빨라지고 경량화, 고압화됨에 따라 단수가 줄고 임펠러 반경이 커지며 회전체와 비회전체 사이의 틈새가 점점 작게 설계되고 있어, 동특성 해석의 중요성이 더욱 대두되고 있다. 다단터빈펌프는 일반 회전기계와 달리 작동유체로부터 발생하는 유체력이 동특성에 크게 영향을 미치게 되는데, ①시일이나 밸란스 피스톤에서 일어나는 유체력, ②임펠러와 쉬라우드 사이에서 발생하는 유체력, ③베어링의 유막력 등이 계의 동특성 변화 및 불안정진동을 일으키는 중요한 원인이 되고 있다.

Fig. 1은 발전소 및 화학플랜트 등에서 보일러급 수용으로 사용되고 있는 고압 다단 터빈 펌프를 나타내며, Fig. 2는 다단터빈펌프에 사용 되는 wear ring seal(또는 neck ring seal), interstage seal, balance piston seal(또는 balance sleeve)을 나타낸다. 1965년 Lomakin⁽¹⁾은 이들 시일에서의 유체력으로 인해 펌프의 고유진동수가 상당히 증가함을 보였다. 이후 Childs, Kaneko, Manabe, Nordmann, Black, Fritz, Kanki, Nelson등에 의해 비접촉 시일부의 유체력에 의한 감쇠에 대해 상당한 연구가 진행되었는데, 특히 Black 및 Childs⁽²⁾는 bulk-flow 모델을 이용하여 평행시일(plain seal)의 동적계수에 대한 근사해를 얻고 있으며, San Andres⁽³⁾는 역시 이 모델에 대한 유한차분해(FDM, Finite Difference Method)를 개발하였다.

* 정희원, 한국기계연구원 회전체연구그룹

** (주) 한돌펌프

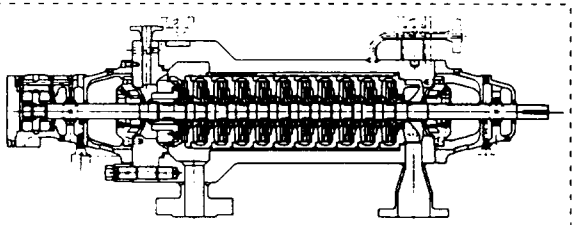
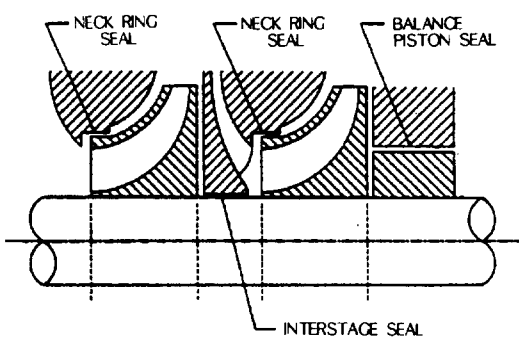
Fig. 1 A multistage centrifugal pump⁽²⁾Fig. 2 Pump seals⁽²⁾

Table 1 Specification of a multistage turbine pump

Shaft length	2152mm
Number of stage	10
Maximum head	1500m
Flow rate	3m ³ /min
Rotating speed	3580rpm

Table 1은 국내에서 개발하고자 하는 양정 1500 m급 다단터빈펌프의 시방이다. 본 연구는 이 펌프를 대상으로 회전속도에 따른 베어링 및 시일의 동적계수를 추출하여 회전체계의 동특성을 해석하고, 시일의 마멸이 진전됨에 따라 발생할 수 있는 진동문제를 고찰하고자 한다.

2. 베어링 동적계수 추출

일반적으로 구름베어링에 비해 유막베어링은 충분한 강성 및 감쇠를 갖고 있을 뿐만 아니라 이러한 동특성은 베어링의 형상변화에 의해 적절한 조절이 가능한 장점을 갖고 있으며 또한 긴 수명, 적은 동력소모와 큰 부하용량 등의 장점이 있어 고속 회전 기계류에 창착되고 있다. 본 다단터빈펌프에 사용된 유막베어링은 2축홈베어링(2 axial grooved bearing)

이며, 축방향의 흡은 윤활유 공급통로일 뿐만 아니라 윤활유의 원주방향 흐름을 방해함으로써 오일휠(oil whirl)과 같은 불안정성을 감소시키는 역할을 한다. 일반적으로 회전체를 지지하는 유막압력분포는 다음과 같은 레이놀즈방정식(Reynolds equation)^(2,4)에 의해 지배된다.

$$\frac{1}{R^2} \frac{\partial}{\partial \theta} \left(\frac{h^3}{12} \mu \frac{\partial P}{\partial \theta} \right) + \frac{\partial}{\partial z} \left(\frac{h^3}{12} \mu \frac{\partial P}{\partial z} \right) = \frac{\omega}{2} \frac{\partial h}{\partial \theta} + \frac{\partial h}{\partial t} \quad (1)$$

유막압력에 대한 경계조건으로서는 유체연속성(continuity)을 만족시면서 음압을 발생시키지 않는 레이놀즈 경계조건(Reynolds boundary condition)을 사용하였다. 축홈베어링의 2번째 패드의 유막두께는 다음과 같이 표현된다.

$$h_i(\theta) = C - X \cos \theta - Y \sin \theta \quad (\theta_i \leq \theta \leq \theta_o) \quad (2)$$

이상의 유압 경계조건과 유막두께형상을 레이놀즈방정식에 적용시켜 유막력을 얻고, 다음과 같이 저어널 중심의 변위 및 속도 변화에 따른 유막력의 변화를 계산함으로써 강성계수 및 감쇠계수를 얻을 수 있다.

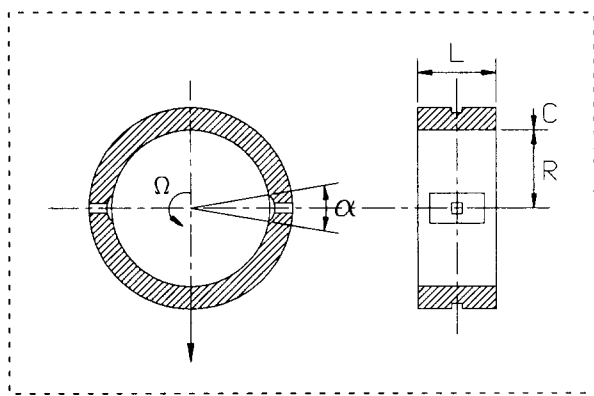


Fig. 3 Geometry of a 2 axial grooved bearing

Table 2 Input data for dynamic coefficient calculation of a 2 axial grooved bearing

Radius	35 mm
Length	80 mm
Clearance	0.045~0.06 mm
Load	104.366 kg
Oil	ISO 46
Supply temperature	40°C
Arc length	160°
Oil groove	2×20°

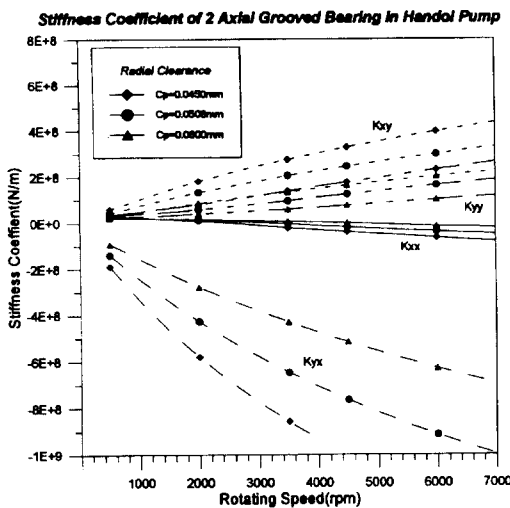


Fig. 4 Stiffness coefficients of the bearing

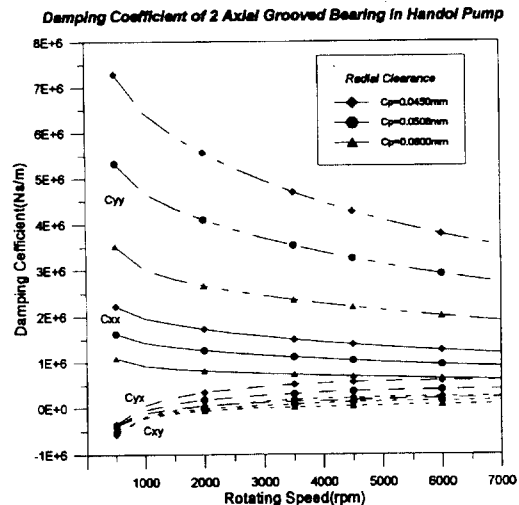


Fig. 5 Damping coefficients of the bearing

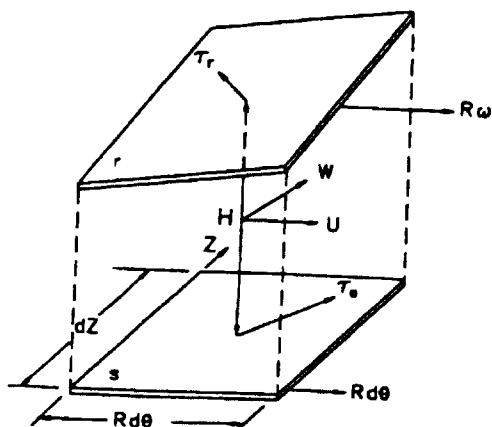


Fig. 6 Differential fluid element of a seal

Table 3 Output data of bearing calculation

Sommerfelt number	6.2421
Stability threshold	7747.69 rpm
Friction loss	1.954 HP
Outlet temperature	56.3°C

$$K_{xx} = -\frac{\partial F_x}{\partial x}, \quad K_{xy} = -\frac{\partial F_x}{\partial y} \quad (3)$$

$$K_{yx} = -\frac{\partial F_y}{\partial x}, \quad K_{yy} = -\frac{\partial F_y}{\partial y}$$

$$C_{xx} = -\frac{\partial F_x}{\partial \dot{x}}, \quad C_{xy} = -\frac{\partial F_x}{\partial \dot{y}} \quad (4)$$

$$C_{yx} = -\frac{\partial F_y}{\partial \dot{x}}, \quad C_{yy} = -\frac{\partial F_y}{\partial \dot{y}}$$

본 연구에서는 층류흐름을 가지는 레이놀즈 방정식을 풀기 위해 1차원적 유한요소법(FEM, Finite Element Method)에 의해 개발되어진 프로그램⁽⁴⁾을 이용하여 베어링의 동적계수를 추출하였다.

Fig. 3은 2축홈베어링의 개략적인 형상을 나타내고, Table 2는 베어링의 동적계수를 계산하기 위한 입력데이터를 정리한 것이다. Fig. 4와 Fig. 5는 회전속도 변화에 따라 계산되어진 베어링의 강성계수와 감쇠계수의 변화를 각각 나타낸다. Table 3은 운전속도인 3580 rpm에서 계산되어진 베어링의 정적 특성 결과이다.

3. 시일 동적계수 추출

일반적으로 시일은 베어링과 달리 입구와 출구사이에 비교적 큰 압력차가 있고 축방향으로의 강한 압력흐름을 갖고 있으며, 시일 틈새가 베어링보다 크기 때문에 흐름이 난류이다. 시일에서의 유체력은 유체관성력을 무시하면 다음과 같이 주어진다.

$$-\begin{Bmatrix} F_x \\ F_y \end{Bmatrix} = \begin{bmatrix} K_{xx} & K_{xy} \\ K_{yx} & K_{yy} \end{bmatrix} \begin{Bmatrix} X \\ Y \end{Bmatrix} + \begin{bmatrix} C_{xx} & C_{xy} \\ C_{yx} & C_{yy} \end{bmatrix} \begin{Bmatrix} \dot{X} \\ \dot{Y} \end{Bmatrix} \quad (5)$$

여기서,

$$K_{xx} = K_{yy}, \quad K_{xy} = -K_{yx} \\ C_{xx} = C_{yy}, \quad C_{xy} = -C_{yx} \quad (6)$$

본 연구에서는 평행환상시일의 동적계수를 얻기 위해 bulk-flow 모델을 이용하였는데, 이는 틈새에서 반경방향으로의 속도성분변화를 무시하고 대신 평균속도를 사용하는 것이다. Fig. 6과 같은 환상 시일의 미소요소에 작용하는 연속방정식(continuity equation)과 축방향 및 원주방향 운동량방정식(momentum equation)은 다음 식과 같이 표현된다⁽²⁾.

$$\frac{\partial H}{\partial t} + \frac{1}{R} \frac{\partial(HU)}{\partial \theta} + \frac{\partial(HW)}{\partial Z} = 0 \quad (7)$$

$$-H \frac{\partial P}{\partial Z} = \frac{\rho}{2} WU f_s + \frac{\rho}{2} WU f_r + \rho H \left(\frac{\partial W}{\partial t} + \frac{U}{R} \frac{\partial W}{\partial \theta} + W \frac{\partial W}{\partial Z} \right) \quad (8)$$

$$-\frac{H}{R} \frac{\partial P}{\partial \theta} = \frac{\rho}{2} UU f_s + \frac{\rho}{2} (U - R\omega) U f_r + \rho H \left(\frac{\partial U}{\partial t} + \frac{U}{R} \frac{\partial U}{\partial \theta} + W \frac{\partial U}{\partial Z} \right) \quad (9)$$

여기서,

$$U_s = (W^2 + U^2)^{\frac{1}{2}} \quad (10)$$

$$U_r = [W^2 + (U - R\omega)^2]^{\frac{1}{2}} \quad (11)$$

$$f_s = a_1 \left[1 + (a_2 \frac{e_s}{2H} + a_3 \frac{1}{Re_s})^{\frac{1}{3}} \right], \quad (12)$$

$$Re_s = \frac{2\rho U_s H}{\mu}$$

$$f_r = a_1 \left[1 + (a_2 \frac{e_r}{2H} + a_3 \frac{1}{Re_r})^{\frac{1}{3}} \right], \quad (13)$$

$$Re_r = \frac{2\rho U_r H}{\mu}$$

이때 f_s, f_r 는 정지부와 회전부의 moody friction

Table 4 Input data for dynamic coefficient calculation of plane annular seals

	Wear ring seal (1st stage)	Wear ring seal (2nd-10th stage)	Inter-stage seal	Balance sleeve
Length (mm)	17	14	21	77.3
Radius (mm)	89.8	82.3	49.8	49.8
Pressure drop (bar)	10.5	10.5	4.5	70.0
Clearance (mm)			0.2	
Density (kg/m^3)			924	
Viscosity ($\text{Pa}\cdot\text{s}$)			0.000188	
Eccentricity			0	
Relative roughness e/D			0.001	
Moody's factor a_1			0.001375	
Moody's factor a_2			20000	
Moody's factor a_3			1000000	

factor를 나타내고, e_s, e_r 는 정지부와 회전부의 절대거칠기 (absolute roughness)를 나타낸다. 식 (7)~(9)를 무차원화 시킨 후 다음과 같은 섭동변수를 도입하면, 0차 및 1차 섭동방정식 (perturbation equation)을 유도할 수 있다 (참고문헌 (2) 참조).

$$h = h_0 + \varepsilon h_1, \quad w = w_0 + \varepsilon w_1 \quad (14)$$

$$u = u_0 + \varepsilon u_1, \quad p = p_0 + \varepsilon p_1$$

0차 섭동방정식으로부터는 누설량 (leakage flow rate)과 원주방향 속도분포를 얻을 수 있으며, 1차 섭동방정식으로부터는 시일의 동적계수를 구할 수 있다. 본 연구에서는 San Andres가 개발한 bulk-flow 모델의 유한차분 (FDM, Finite Difference Method) 프로그램⁽³⁾을 이용하여 평행환상시일들의 동적계수를 추출하였다.

보통 발전소 및 화학플랜트에서 운용되는 고압터빈펌프는 150°C 이상의 고온에서 작동된다. 일반적으로 물의 온도가 올라갈수록 점도는 급격히 떨어지고, 밀도는 완만하게 떨어진다. 따라서 이러한 온도

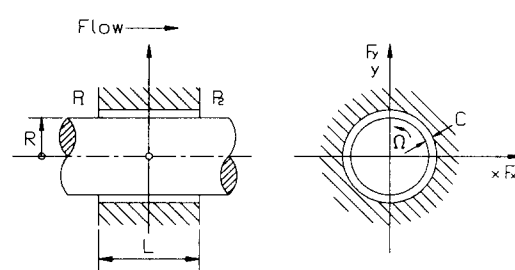


Fig. 7 Geometry of a plane annular seal

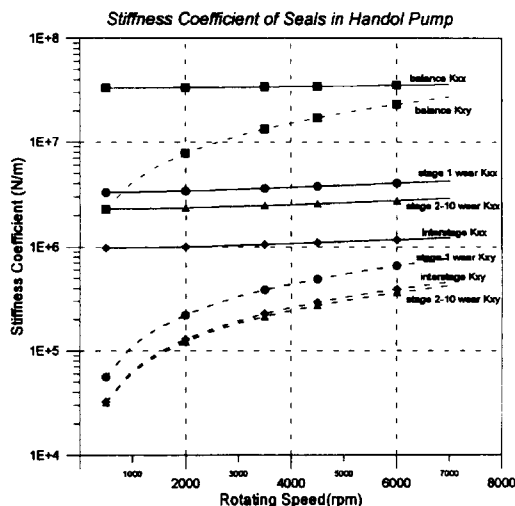


Fig. 8 Stiffness coefficients of seals

변화에 따른 시일의 특성을 해석하면, 온도에 따라 강성 및 감쇠계수가 약간씩 감소하는 것을 볼 수 있다. 아울러 압력강하에 따른 시일의 강성계수, 감쇠계수 및 누설량을 해석하면, 압력강하에 따라 이 값들이 급격히 증가하는 것을 확인할 수 있다. 따라서 펌프의 정확한 동특성해석을 위해서는 현장 온도 조건과 압력강하에 대한 정확한 평가가 중요하다.

Fig. 7은 환상평행시일(pane annular seal)의 개략적인 형상이며, Table 4는 각 시일의 동적계수를 계산하기 위한 입력데이터를 정리한 것이다. 여기서 물의 밀도와 점도는 현장조건에 근접한 147°C의 것들을 사용하였다. 압력강하는 wear ring seal에서 단단압력의 70%가, interstage seal에서 단단압력의 30%가, balance sleeve에서 전체압력의 50%가 작용하는 것으로 가정하였다.

Fig. 8은 회전속도에 따른 각 시일들의 강성계수를 계산한 것이다. 직강성(direct stiffness)은 서서히 증가하는데 반해 연성강성(cross couple stiffness)은 급격히 증가함을 볼 수 있다. Fig. 9는 회전속도에 관한 각 시일들의 감쇠계수를 계산한 것이다. 직감쇠(direct damping)는 거의 일정한데 반해 연성감쇠(cross couple damping)는 서서히 감소함을 볼 수 있다. 그리고 balance sleeve에서의 강성과 감쇠계수는 다른 시일들에 비해 상당히 큼을 볼 수 있다. Fig. 10은 회전속도에 따른 누설량(leakage flow rate)의 변화를 나타낸다.

4. 회전체계의 동적거동 해석

다단터빈펌프 전체 회전체계의 운동방정식은 다음과 같이 표현된다

$$[M]\{\ddot{q}\} + [C]\{\dot{q}\} + [K]\{q\} = \{Q\} \quad (15)$$

여기서, $[M]$, $[C]$, $[K]$ 는 일반화된 전체 관성, 감쇠, 강성행렬이고, $\{q\}$ 와 $\{Q\}$ 는 각각 일반화된 전체 변위 및 힘벡터를 나타낸다. 자이로스코픽 요소는 $[C]$ 에 포함되어진다.

자유진동해석을 위해 식 (15)는 다음과 같이 상태공간 형태로 표현될 수 있다.

$$\begin{Bmatrix} (\ddot{q}_2) \\ (\dot{q}_1) \end{Bmatrix} = [A] \begin{Bmatrix} (q_2) \\ (q_1) \end{Bmatrix}, \quad \text{with} \quad \begin{Bmatrix} q_1 \end{Bmatrix} = \{q\} \quad (16)$$

이때 $[A]$ 는 다음과 같은 시스템의 동적행렬(dynamic matrix)로 정의된다.

$$[A] = \begin{bmatrix} -[M]^{-1}[C] & -[M]^{-1}[K] \\ [I] & [0] \end{bmatrix} \quad (17)$$

고유치 및 고유벡터는 시스템의 동적행렬로부터 계산되어진다.

Fig. 11은 펌프 회전체계의 동적해석을 수행하기 위한 유한요소 모델이며, 총 30개의 축요소, 15개의 disk요소, 13개의 베어링 및 시일 요소로 모델링 되었다. Table 5는 축요소의 재료 물성치를 정리한 것이다. Tabel 6은 impeller, balance piston, coupling등 주요 disk의 물성치를 정리한

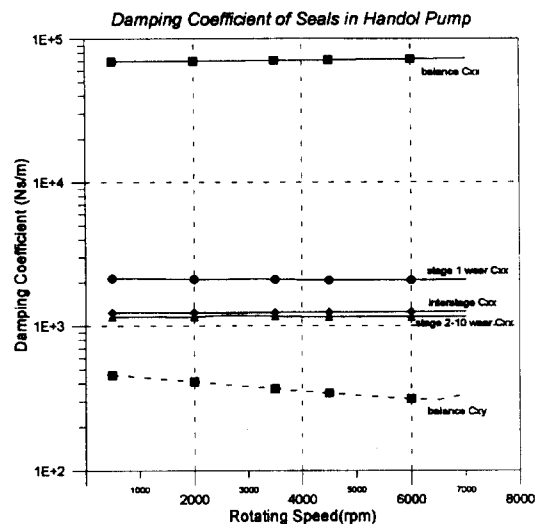


Fig. 9 Damping coefficients of seals

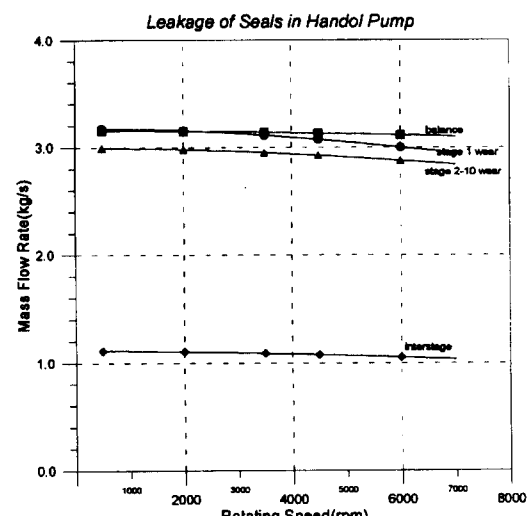


Fig. 10 Leakage flow rates of seals

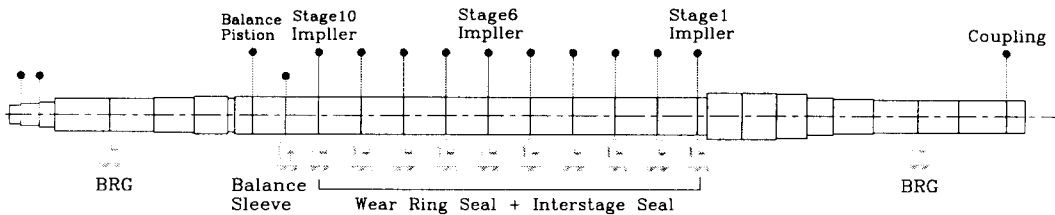


Fig. 11 Finite element model of the pump rotor system

Table 5 Material properties of shaft element

Beam model	Timoshenko beam
Density	7800 kg/m ³
Young's modulus	2.078 × 10 ¹¹ N/m
Poisson ratio	0.3

Table 6 Mass properties of principle disk

Principle disk	m(kg)	I _b (kg·m ²)	I _t (kg·m ²)
1st stage impeller	10.792	0.0985	0.0537
2nd-10th stage impeller	7.831	0.0676	0.0347
Balance piston	12.103	0.0911	0.0473
Coupling	20.473	0.1237	0.0670

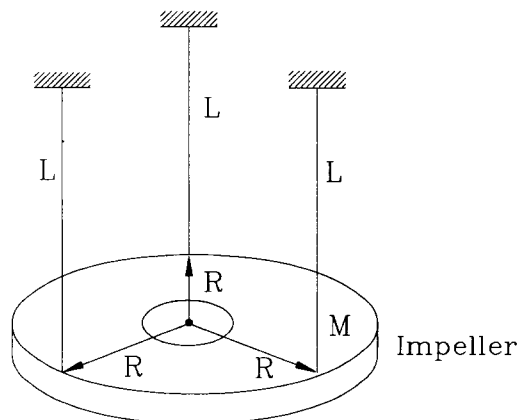


Fig. 12 Measurement of polar moment of inertia

것으로서, mathematica에서 근사적으로 계산하였으며, Fig. 12와 같이 극관성모멘트를 실험으로 검증하였다. 이 때 극관성 모멘트를 검증하기 위한 실험식은 다음과 같다⁽⁶⁾.

$$I_p = \frac{MgR^2}{(2\pi f)^2 L} \quad (18)$$

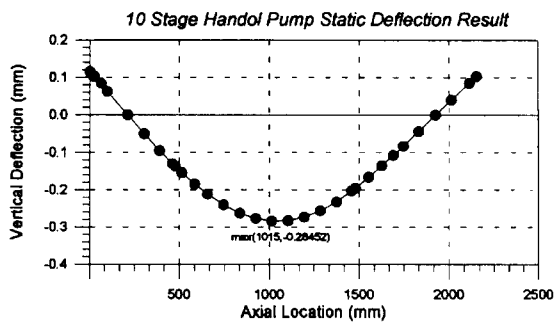


Fig. 13 Static deflection curve of rotating part

Fig. 13은 정지시의 회전부의 정적처짐곡선을 나타내고 있는데, 모든 시일이 시일 간극(0.2 mm)을 넘어서고 있으며, 일반적으로 펌프 조립시 시일들이 회전부와 접촉하지 않도록 정적처짐곡선에 따라 정지부를 조절해 주어야 한다.

Fig. 14는 펌프 회전체계의 campbell diagram을 나타낸 것으로, 현재로는 1차 위험속도를 통과하지 않은 상태에서 70%가량의 충분한 분리여유(seperation margin)를 가지고 운전되고 있음을 알 수 있다. Table 7은 3580 rpm에서의 선회고 유진동수(whirl natural frequency)를 정리해 놓은 것이며, Fig. 15와 Fig. 16은 이때의 1, 2차 고유진동모드(natural mode)를 그린 것이다. 고유모드는 베어링을 node점으로 갖는 굽힘모드임을 알 수 있다.

5. 시일 마멸에 따른 동적거동 변화

시일은 그 반경이나 길이와 같은 설계변수를 변경함으로써 그 강성 및 감쇠계수를 조절할 수 있다⁽⁷⁾. 그리고, 펌프가 장시간 작동하면서 시일이 마멸됨에 따라 그 강성이나 감쇠 계수가 변하기도 하는데, 일부 문헌에서는 시일이 마멸됨에 따라 위험속도가 낮아지고 감쇠가 줄어들어 진동문제를 일으킨 경우가 보고되고 있다⁽⁸⁾.

Table 7 Natural frequencies at 3580rpm with new seals

Order		Natural frequencies at 3580rpm
1	Backward	5718rpm
	Forward	5976rpm
2	Backward	9548rpm
	Forward	9678rpm

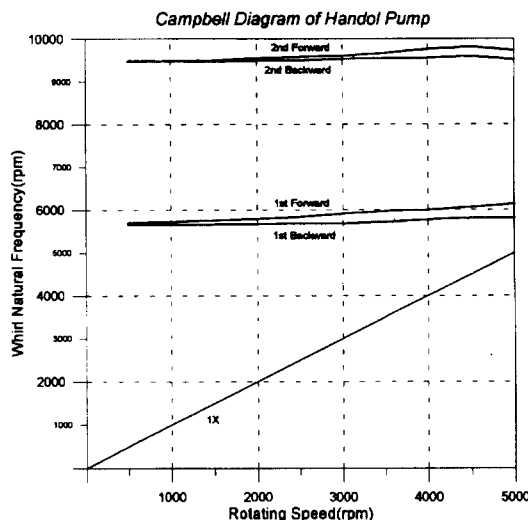


Fig. 14 Campbell diagram of the pump rotor system

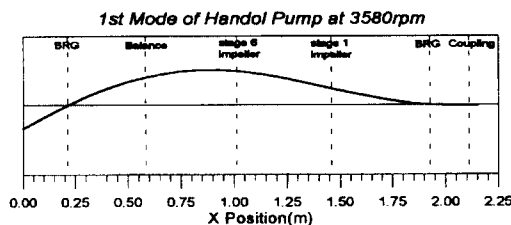


Fig. 15 1st natural mode at 3580 rpm

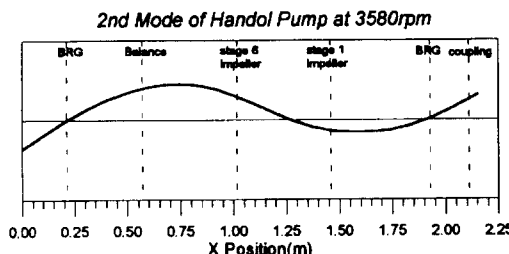


Fig. 16 2nd natural mode at 3580 rpm

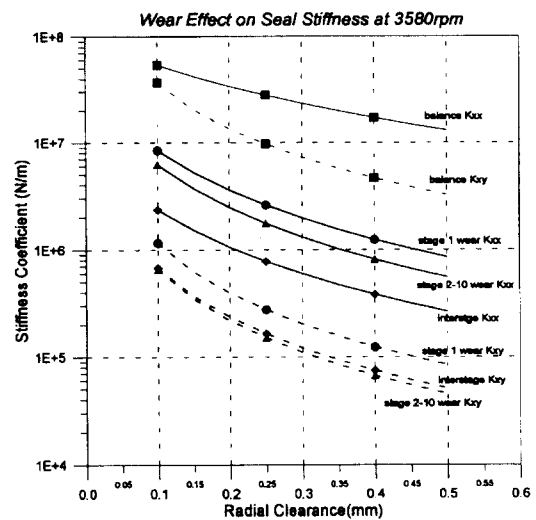


Fig. 17 Wear effects on stiffness coefficients of seals

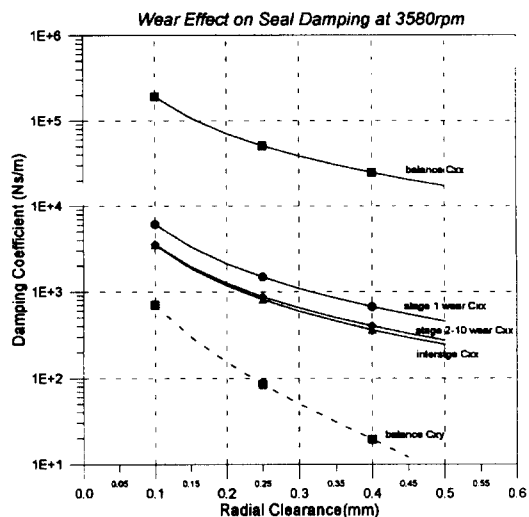


Fig. 18 Wear effects on damping coefficients of seals

Fig. 17과 18은 시일의 간극변화에 따른 강성 및 감쇠계수의 변화를 그린 것으로, 마멸량에 따라 강성 및 감쇠계수가 크게 떨어짐을 볼 수 있다. Fig. 19는 시일의 간극변화에 따른 누설량의 변화를 그린 것으로, 마멸에 따라 누설량이 급격히 증가함을 볼 수 있다.

보통 wear ring seal은 interstage seal이나 balance sleeve에 비해 선속도가 크기 때문에 마멸량이 많아 자주 교체된다. Fig. 20은 오직 wear ring seal만이 균일하게 마멸된다고 가정하였을 때 3580 rpm에서의 고유진동수의 변화추이를 그린 것이다. 그 고유진동수가 시일 간극 증가에 따라 점점 떨어지고 있음을 볼 수 있다. Fig. 21은 모든 seal

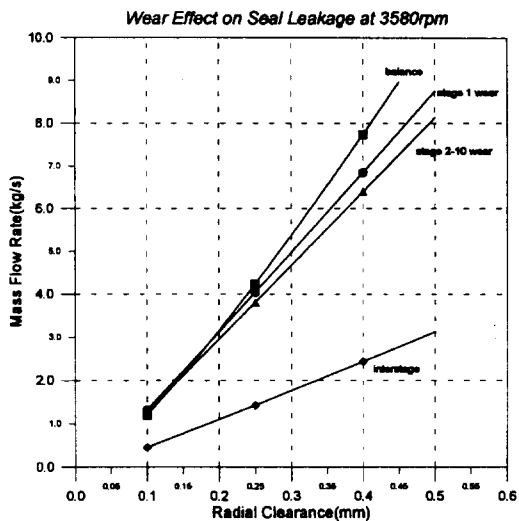


Fig. 19 Wear effects on leakage flow rates of seals

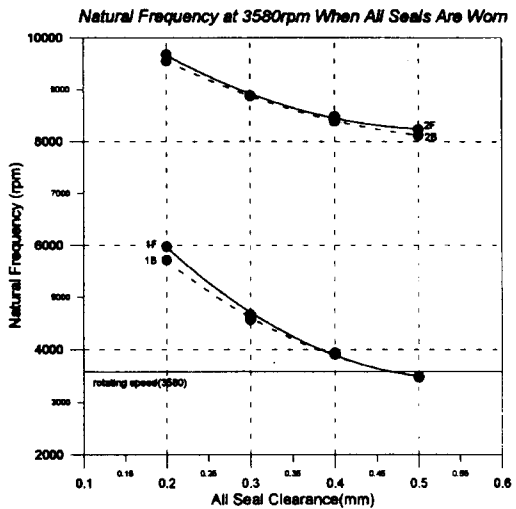


Fig. 21 Natural frequencies at 3580 rpm if all seals are worn

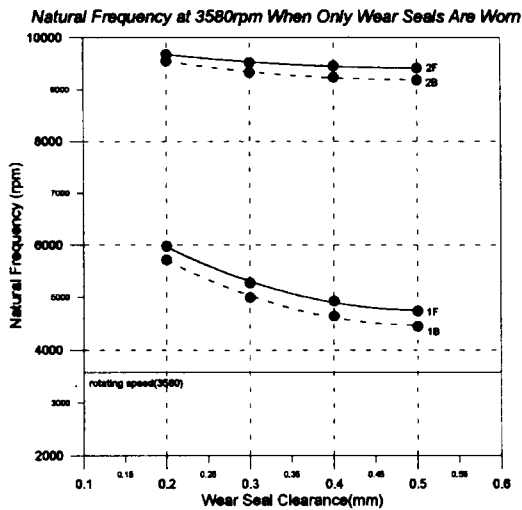


Fig. 20 Natural frequencies at 3580 rpm if only wear seals are worn

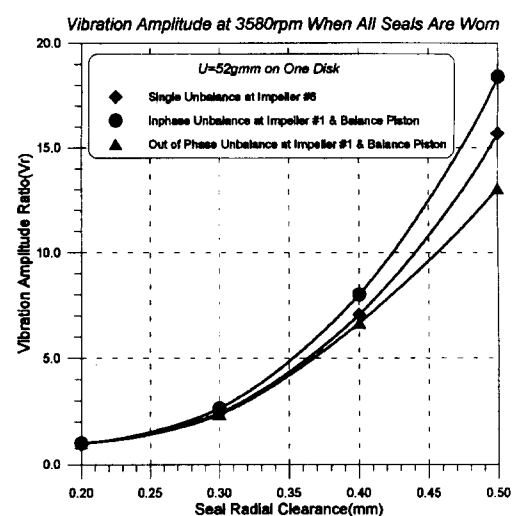


Fig. 22 Relative vibration peak increase at 3580 rpm if all seals are worn

Table 8 Natural frequencies at 3580rpm without seals(dry condition)

Order		Natural frequencies at 3580rpm
1	Backward	1786rpm
	Forward	1795rpm
2	Backward	7282rpm
	Forward	7428rpm

이 균일하게 마멸된다고 가정하였을 때 3580 rpm에서의 고유진동수의 변화추이를 그린 것으로서, 그 고유진동수가 점점 떨어져 공진점에까지 이르는 것을 볼 수 있다. 더우기 이 때의 감쇠계수는 Fig. 18에서 볼 수 있듯이 현저히 떨어져 아주 심각한 진동문제를 야기시킬 수 있음을 알 수 있다.

한편, Table 8은 시일이 그 기능을 완전히 상실할 정도로 마멸되었을 때(이를 dry condition^(1,2)이라 한다) 3580 rpm에서의 고유진동수이다. 이 때에는 전체 시스템에 적절하게 제공해 주던 시일의 감쇠기

능이 상실됨에 따라, 전체시스템이 유막베어링의 불안정화 힘 등에 아주 취약하게 될 수 있다.

시일의 마멸에 따른 진동의 증가를 확인하기 위하여 ISO Balance Quality G2.5(3580 rpm, 7.8 kg의 임펠러인 경우 $u=52 \text{ g}\cdot\text{mm}$) 기준⁽⁹⁾으로 불평형응답을 해석하였다. 불평형응답해석은 다음과 같은 일반화된 불평형가진력과 가정된 해를 식(15)에 대입하여 얻을 수 있다.

$$\{Q\} = \omega^2 \{U_c\} \cos \omega t + \omega^2 \{U_s\} \sin \omega t \quad (19)$$

$$\{q\} = \{a\} \cos \omega t + \{b\} \sin \omega t \quad (20)$$

해석은 ① 불평형량(52 g·mm)이 회전체 가운데점(16번 node, 6단 임펠러)에 존재할 경우, ② 두 개의 불평형량(52 g·mm)이 1단 impeller와 balance piston에서 동위상(in phase)으로 존재할 경우, ③ 두 개의 불평형량(52 g·mm)이 1단 impeller와 balance piston에서 역위상(out of phase)으로 존재할 경우의 3가지 가정에 대해서 수행하였다. Fig. 22는 시일 마멸이 진전됨에 따라 회전체 가운데점(6단 임펠러)에서의 진동 레벨 변화를 3가지 경우에 대해서 그린 것으로서, 각 경우에 대해 $c = 0.2 \text{ mm}$ 일 때 6단 임펠러에서의 진폭크기를 1로 두었을 때 시일의 마멸이 진전됨에 따라 이 지점의 진폭크기가 상대적으로 어떻게 변화하고 있는지를 다음과 같은 상대진폭 V_r 에 의해 표현하였다.

$$V_r = \frac{V_{\text{clearance}}}{V_{c=0.2}} \quad (21)$$

이 그림에서 전 구간에 걸쳐 시일 간극이 2.5배 커졌을 때 가운데점의 진폭이 13~18배 이상 급격히 커지고 있음을 볼 수 있으며, 결국 마멸의 진전에 따라 공진점이 가까워지고 있음을 확인할 수 있다.

6. 결 론

양정 1500 m급 10단 터빈펌프를 대상으로 유한요소법을 이용하여 동특성 해석을 수행하였다. 회전속도 변화를 고려하여 베어링과 시일의 동적계수를 추정하였고, 이를 동적거동해석에 적용하였다. 시일들은 그 간극이 커질수록 강성 및 감쇠계수가 크게 떨어지고 누설량이 급격히 늘어난다. 본 다단터빈펌프는 1차 위험속도 아래서 충분한 분리여유를 가지고 운전되도록 설계되었음을 확인하였다. 그러나 본 논문은, 펌프의 장기적 운용에 따라 시일의 마멸이 진전됨에 따라서 1차 위험속도가 운전속도에 접

근할 수 있으며, 아울러 시일의 감쇠가 크게 줄어들어 심각한 진동문제를 초래할 수도 있음을 보였다.

참 고 문 헌

- (1) A. Lomakin, 1958, "Calculation for Critical Number of Revolutions and the Conditions Necessary for Dynamic Stability of Rotors in High-Pressure Hydraulic Machines When Taking into Account Forces Originating in Seals", Power and Mechanical Engineering.
- (2) D. Childs, 1993, *Turbomachinery Rotordynamics*, John Wiley & Sons.
- (3) L. San Andres, 1991, "Analysis of Variable Fluid Properties, Turbulent Annular Seals", J. of Tribology, pp 684~702.
- (4) 오군섭 외, 1993, 터보기계설계기술개발에 관한 연구, 한국기계연구원 보고서.
- (5) 이동환 외, 1995, 고압다단터빈펌프 설계 및 제작기술 개발(I), 한국기계연구원 보고서.
- (6) R. D. Blevins, 1979, *Formulas for Natural Frequency and Mode Shape*, VNR.
- (7) 이동환, 김영철, 최상규, 이안성, 1995, "로마킨효과를 고려한 다단터빈펌프의 동특성해석", 한국소음진동공학회 1995년 추계학술대회논문집, pp 276~281.
- (8) C. M. Chang, 1987, "Solving the Vibration Problem of a Vertical Multistage Cryogenic Pump", Proc. of 4th Pump Symposium, TAMU.
- (9) ISO Standard 1940, "Mechanical Vibration - Balance Quality Requirements of Rigid Rotors, Part I: Determination of Permissible Residual Unbalance", 1st Ed., 1988.
- (10) 김영철, 이동환, 이봉주, 1997, "씨일 마모가 다단터빈펌프 동적거동에 미치는 영향", 한국소음진동공학회 1997년 춘계학술대회논문집, pp 253~259.
- (11) T. Someya, 1989, *Journal Bearing Databook*, Springer-Verlag Berlin.
- (12) M. Lalanne, 1990, *Rotordynamic Prediction in Engineering*, John Wiley & Sons.
- (13) B. J. Hamrock, 1994, *Fundamentals of Fluid Film Lubrication*, McGraw-Hill.